

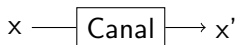
Percolation et codes correcteurs quantiques

Nicolas Delfosse (travail commun avec Gilles Zémor)

LIX-Qualcomm, École Polytechnique
INRIA Saclay, Équipe GRACE

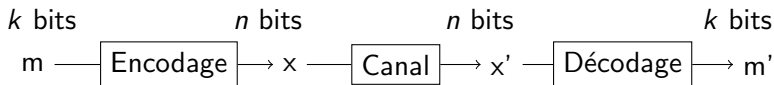
Groupe de travail Combinatoire - LIX - École Polytechnique
26 Novembre 2012

Capacité d'un canal classique



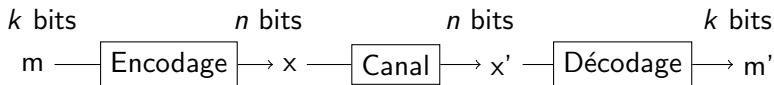
- ▶ Le canal introduit des erreurs

Capacité d'un canal classique



- ▶ Le canal introduit des erreurs
→ On ajoute de la redondance

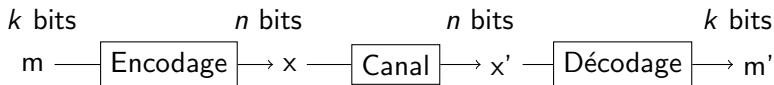
Capacité d'un canal classique



- ▶ Le canal introduit des erreurs
→ On ajoute de la redondance
- ▶ Quel est le plus grand rendement $R = k/n$ avec $P_{err} \rightarrow 0$?
→ C'est la **capacité du canal**.¹

1. C. Shannon - A mathematical theory of communication. The Bell System Technical Journal, Vol. 27, pp. 379–423, 623–656, July, October, 1948.

Capacité d'un canal classique



- ▶ Le canal introduit des erreurs
→ On ajoute de la redondance
- ▶ Quel est le plus grand rendement $R = k/n$ avec $P_{err} \rightarrow 0$?
→ C'est la **capacité du canal**.¹
- ▶ On veut un encodage et décodage rapide et efficace
→ codes LDPC : $C = \text{Ker } H$ avec H une matrice creuse
→ En compensation : légèrement sous la capacité.

1. C. Shannon - A mathematical theory of communication. The Bell System Technical Journal, Vol. 27, pp. 379–423, 623–656, July, October, 1948.

Codes correcteurs

Un code (linéaire binaire) est un sous-espace vectoriel C de \mathbb{F}_2^n .

- ▶ La **dimension** de C est noté k .
- ▶ La **distance minimale** de C est $d = \min\{w(x) \mid x \in C \setminus \{0\}\}$.
- ▶ Les paramètres de C : $[n, k, d]$.

Codes des cycles

$C = \ker H$ avec H la matrice d'incidence d'un graphe G :

C est le **code des cycles** de ce graphe $G = (V, E)$.

- ▶ les vecteurs de C sont les cycles (homologiques) du graphe.
- ▶ $k = |E| - |V| + 1$ si le graphe est connexe.
- ▶ $d = \text{maille} =$ longueur du plus court cycle non nul.

Le graphe de Petersen

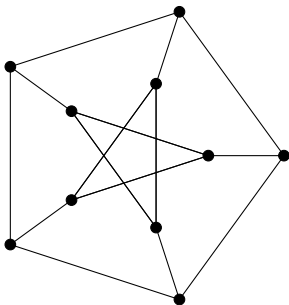


FIGURE : Le code des cycles du graphe de Petersen est un code $[15, 6, 5]$

Le graphe de Petersen

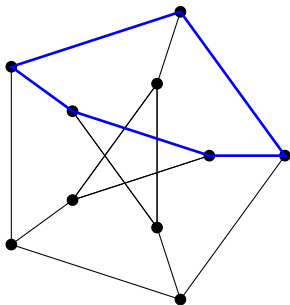


FIGURE : Le code des cycles du graphe de Petersen est un code $[15, 6, 5]$

► En bleu : un cycle

Le graphe de Petersen

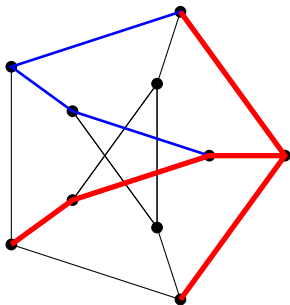


FIGURE : Le code des cycles du graphe de Petersen est un code $[15, 6, 5]$

- ▶ En bleu : un cycle
- ▶ En rouge : un effacement corrible

Le graphe de Petersen

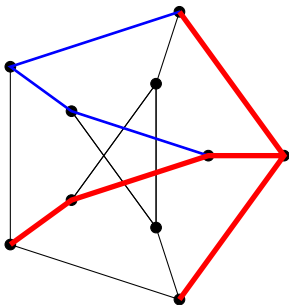


FIGURE : Le code des cycles du graphe de Petersen est un code $[15, 6, 5]$

- ▶ En bleu : un cycle
- ▶ En rouge : un effacement corrible

Proposition

Un effacement est corrigible ssi il ne couvre pas de cycle non nul.

Percolation dans \mathbb{Z}^2

Chaque arête est rouge avec proba p et noire avec proba $1 - p$.

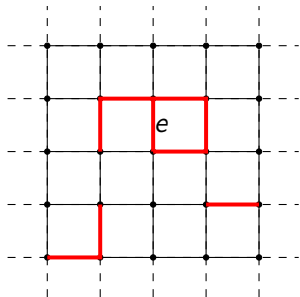


FIGURE : Un évènement avec une composante rouge finie $\mathcal{E}(e)$

Percolation dans \mathbb{Z}^2

Question : Quel est la probabilité P_p telle que $\mathcal{E}(e)$ est infini ?

Définition

La probabilité critique est a valeur p_c telle que :

- ▶ $P_p = 0$ lorsque $p < p_c$,
- ▶ $P_p > 0$ lorsque $p > p_c$.

Théorème (H. Kesten, 1980 - conjecturé 20 ans avant)

Dans le pavage carré, on a : $p_c = 1/2$.

Nous allons utiliser la théorie de l'information quantique pour borner p_c pour des graphes hyperboliques.

$$\text{Code quantique} = \begin{cases} \mathbf{H}_X \in M_{r_X, n}(\mathbb{F}_2) \\ \mathbf{H}_Z \in M_{r_Z, n}(\mathbb{F}_2) \\ \text{orthogonalité entre les lignes de } \mathbf{H}_X \text{ et } \mathbf{H}_Z \end{cases}$$

$$C_X = \text{Ker } \mathbf{H}_X \text{ et } C_Z = \text{Ker } \mathbf{H}_Z$$

- ▶ Les mots quantiques : C_Z modulo C_X^\perp et C_X modulo C_Z^\perp
- ▶ La dimension : $k = n - \text{rg } \mathbf{H}_X - \text{rg } \mathbf{H}_Z$
- ▶ La distance : $d = \inf\{w(x) \mid x \in C_X \setminus C_Z^\perp \cup C_Z \setminus C_X^\perp\}$
- ▶ Une erreur quantique = $(E_X, E_Z) \in \mathbb{F}_2^n \times \mathbb{F}_2^n$.
Particularité quantique : Les erreurs de C_Z^\perp et C_X^\perp n'ont aucun effet

Le code Torique de Kitaev

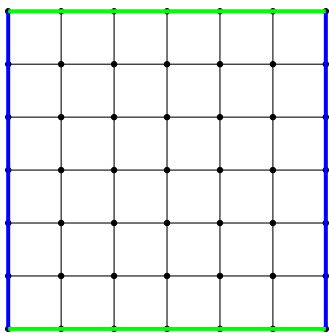
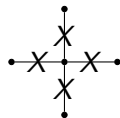


FIGURE : Un pavage carré du tore

- ▶ C_X = les cycles
- ▶ C_Z^\perp = sommes de faces
- ▶ mots quantiques = les cycles modulo les faces (= classes d'homologie)

Lignes de H_X =



Lignes de H_Z =



FIGURE : Générateurs du code de Kitaev

Le code Torique de Kitaev

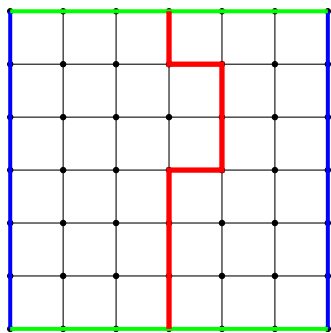
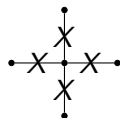


FIGURE : Un pavage carré du tore

- ▶ C_X = les cycles
- ▶ C_Z^\perp = sommes de faces
- ▶ mots quantiques = les cycles modulo les faces (= classes d'homologie)

Lignes de $H_X =$



Lignes de $H_Z =$



FIGURE : Générateurs du code de Kitaev

Le code Torique de Kitaev

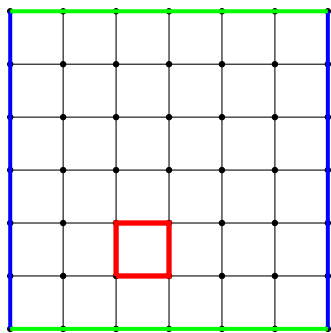
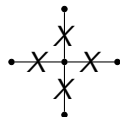


FIGURE : Un pavage carré du tore

- ▶ C_X = les cycles
- ▶ C_Z^\perp = sommes de faces
- ▶ mots quantiques = les cycles modulo les faces (= classes d'homologie)

Lignes de $H_X =$



Lignes de $H_Z =$



FIGURE : Générateurs du code de Kitaev

Le code Torique de Kitaev

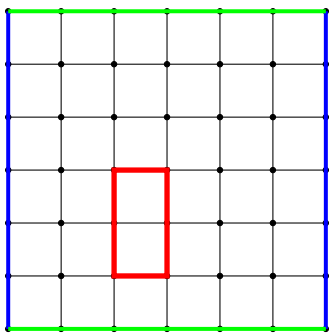
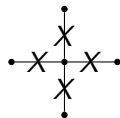


FIGURE : Un pavage carré du tore

- ▶ C_X = les cycles
- ▶ C_Z^\perp = sommes de faces
- ▶ mots quantiques = les cycles modulo les faces (= classes d'homologie)

Lignes de H_X =



Lignes de H_Z =



FIGURE : Générateurs du code de Kitaev

Le code Torique de Kitaev

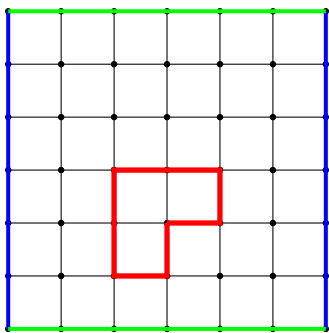
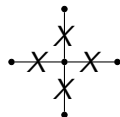


FIGURE : Un pavage carré du tore

- ▶ C_X = les cycles
- ▶ C_Z^\perp = sommes de faces
- ▶ mots quantiques = les cycles modulo les faces
(= classes d'homologie)

Lignes de H_X =



Lignes de H_Z =



FIGURE : Générateurs du code de Kitaev

Le code Torique de Kitaev

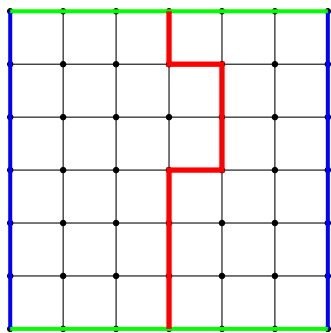
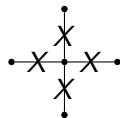


FIGURE : Un pavage carré du tore

- ▶ C_X = les cycles
- ▶ C_Z^\perp = sommes de faces
- ▶ mots quantiques = les cycles modulo les faces
(= classes d'homologie)

Lignes de H_X =



Lignes de H_Z =



FIGURE : Générateurs du code de Kitaev

Le code Torique de Kitaev

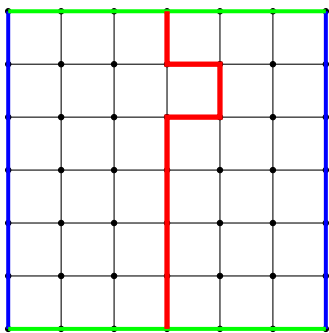
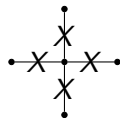


FIGURE : Un pavage carré du tore

- ▶ C_X = les cycles
- ▶ C_Z^\perp = sommes de faces
- ▶ mots quantiques = les cycles modulo les faces (= classes d'homologie)

Lignes de H_X =



Lignes de H_Z =



FIGURE : Générateurs du code de Kitaev

Le code Torique de Kitaev

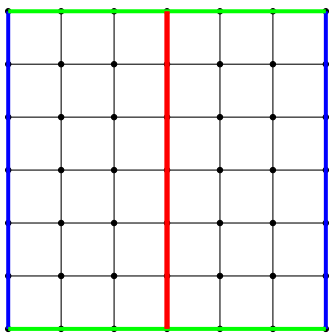
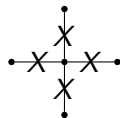


FIGURE : Un pavage carré du tore

- ▶ C_X = les cycles
- ▶ C_Z^\perp = sommes de faces
- ▶ mots quantiques = les cycles modulo les faces (= classes d'homologie)

Lignes de H_X =



Lignes de H_Z =



FIGURE : Générateurs du code de Kitaev

Le code Torique de Kitaev

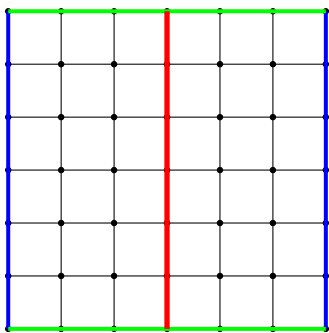
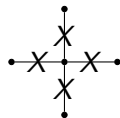


FIGURE : Un pavage carré du tore

- ▶ C_X = les cycles
- ▶ C_Z^\perp = sommes de faces
- ▶ mots quantiques = les cycles modulo les faces
(= classes d'homologie)

Lignes de H_X =



Lignes de H_Z =



FIGURE : Générateurs du code de Kitaev

Dans le pavage $m \times m$:

- ▶ n = nb d'arêtes = $2m^2$
- ▶ d = longueur min d'un cycle non somme de faces de G ou $G^* = m$
- ▶ matrices de type $(2, 4)$

Distance minimale des codes topologiques

D'où vient ce $d = O(n^{1/2})$?

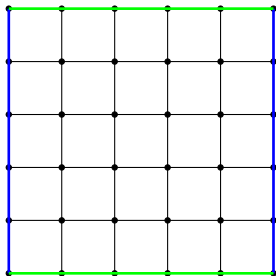


FIGURE : Une boule du pavage carré du tore

Distance minimale des codes topologiques

D'où vient ce $d = O(n^{1/2})$?

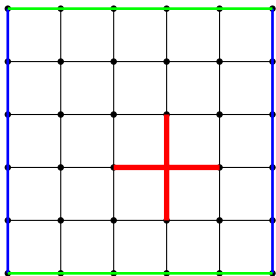


FIGURE : Une boule du pavage carré du tore

Distance minimale des codes topologiques

D'où vient ce $d = O(n^{1/2})$?

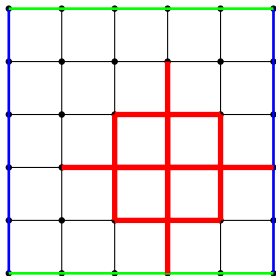


FIGURE : Une boule du pavage carré du tore

Distance minimale des codes topologiques

D'où vient ce $d = O(n^{1/2})$?

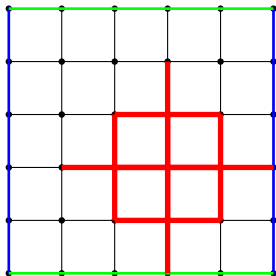


FIGURE : Une boule du pavage carré du tore

pas d'identification jusqu'au rayon $(m - 1)/2$ dans le pavage $m \times m$

Distance minimale des codes topologiques

D'où vient ce $d = O(n^{1/2})$?

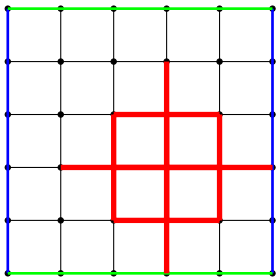


FIGURE : Une boule du pavage carré du tore

- pas d'identification jusqu'au rayon $(m - 1)/2$ dans le pavage $m \times m$
- \Rightarrow cette boule est plane
- \Rightarrow tt cycle inclus dans une telle boule est somme de faces
- \Rightarrow ne compte pas dans d .

Correction des effacements quantiques

Les qubits correspondent aux arêtes

$$\text{qubit effacé} \longleftrightarrow \begin{cases} \text{erreur aléatoire } I, X, Y, Z \\ \text{position connue} \end{cases}$$

Par le canal à effacement quantique chaque qubit est effacé, indépendamment, avec probabilité p .

Proposition

La capacité du canal à effacement quantique est $1 - 2p$.

Proposition

Si $p < p_c = 1/2$ alors la probabilité d'erreur après décodage avec le code torique tend vers 0.

Correction des effacements quantiques

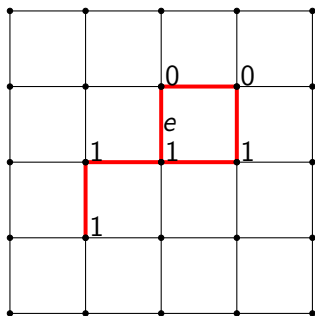


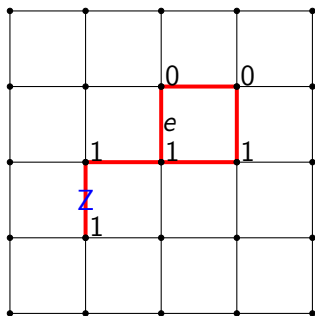
FIGURE : La composante effacée $\mathcal{E}(e)$ et son syndrome dans G

Lorsque $\mathcal{E}(e)$ est petite, on peut corriger cet effacement.

- ▶ En rouge : les arêtes effacées
- ▶ Le syndrome est le bord des arêtes portant un Z .
- ▶ Nous cherchons à identifier les Z à partir du syndrome.

On corrige les erreurs en X de la même manière dans le graphe dual.

Correction des effacements quantiques



- ▶ En rouge : les arêtes effacées
- ▶ Le syndrome est le bord des arêtes portant un Z .
- ▶ Nous cherchons à identifier les Z à partir du syndrome.

FIGURE : La composante effacée $\mathcal{E}(e)$ et son syndrome dans G

On corrige les erreurs en X de la même manière dans le graphe dual.

Lorsque $\mathcal{E}(e)$ est petite, on peut corriger cet effacement.

Correction des effacements quantiques

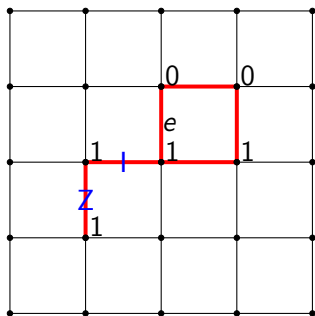


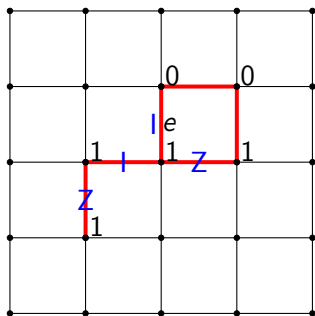
FIGURE : La composante effacée $\mathcal{E}(e)$ et son syndrome dans G

Lorsque $\mathcal{E}(e)$ est petite, on peut corriger cet effacement.

- ▶ En rouge : les arêtes effacées
- ▶ Le syndrome est le bord des arêtes portant un Z .
- ▶ Nous cherchons à identifier les Z à partir du syndrome.

On corrige les erreurs en X de la même manière dans le graphe dual.

Correction des effacements quantiques



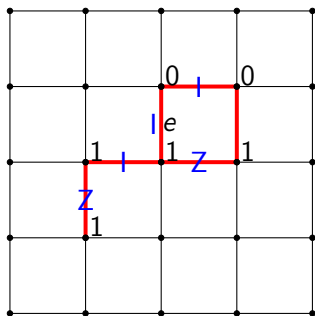
- ▶ En rouge : les arêtes effacées
- ▶ Le syndrome est le bord des arêtes portant un Z .
- ▶ Nous cherchons à identifier les Z à partir du syndrome.

FIGURE : La composante effacée $\mathcal{E}(e)$ et son syndrome dans G

On corrige les erreurs en X de la même manière dans le graphe dual.

Lorsque $\mathcal{E}(e)$ est petite, on peut corriger cet effacement.

Correction des effacements quantiques



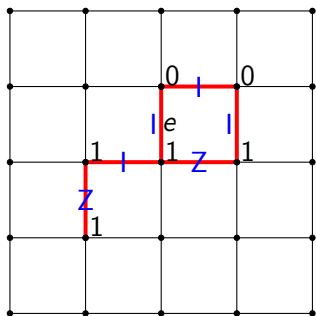
- ▶ En rouge : les arêtes effacées
- ▶ Le syndrome est le bord des arêtes portant un Z .
- ▶ Nous cherchons à identifier les Z à partir du syndrome.

FIGURE : La composante effacée $\mathcal{E}(e)$ et son syndrome dans G

On corrige les erreurs en X de la même manière dans le graphe dual.

Lorsque $\mathcal{E}(e)$ est petite, on peut corriger cet effacement.

Correction des effacements quantiques



- ▶ En rouge : les arêtes effacées
- ▶ Le syndrome est le bord des arêtes portant un Z .
- ▶ Nous cherchons à identifier les Z à partir du syndrome.

FIGURE : La composante effacée $\mathcal{E}(e)$ et son syndrome dans G

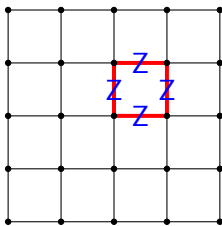
On corrige les erreurs en X de la même manière dans le graphe dual.

Lorsque $\mathcal{E}(e)$ est petite, on peut corriger cet effacement.

Correction des effacements quantiques

Problème : Il y a deux correction possibles.

→ Elles diffèrent d'une somme de faces.



→ Ces erreurs sont triviales donc on a bien corrigé

Un effacement problématique

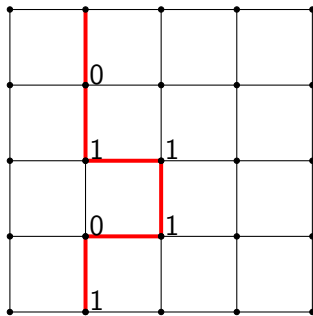


FIGURE : Un effacement problématique

Un effacement problématique

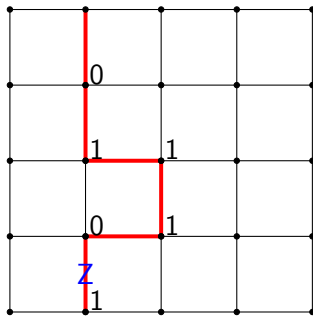


FIGURE : Un effacement problématique

Un effacement problématique

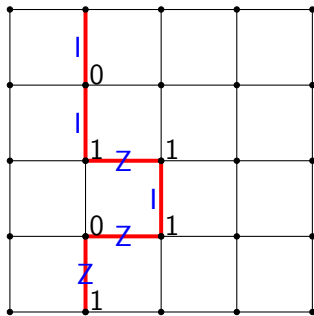


FIGURE : Un effacement problématique

Un effacement problématique

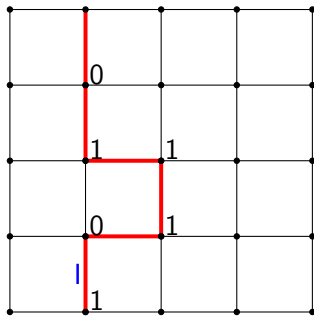


FIGURE : Un effacement problématique

Un effacement problématique

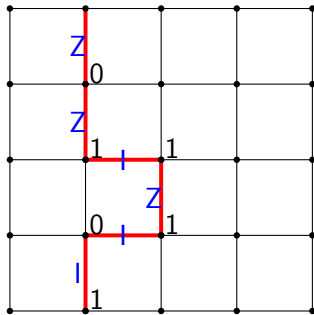


FIGURE : Un effacement problématique

Un effacement problématique

Problème : Il y a deux corrections possibles

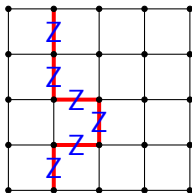


FIGURE : Une erreur quantique non triviale

- Elles n'ont pas le même effet sur le code quantique
- On ne peut pas identifier l'erreur

Un effacement problématique

Pour résumer :

p_c est un seuil pour la percolation dans \mathbb{Z}^2 .

—→ seuil pour les effacements

- ▶ $p < p_c \Rightarrow$ on peut corriger
- ▶ $p > p_c \Rightarrow$ l'information quantique est perdue

Hyperbolic graphs

Objectif : relier percolation et probabilité d'effacement pour d'autres graphes.

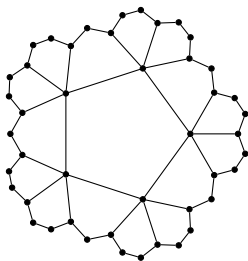


FIGURE : Structure locale du pavage 5-régulier $G(5)$

Définition

Soit $G(m)$ le pavage planaire infini m -régulier.

Hyperbolic graphs

La détermination de p_c est difficile dans $G(m)$.
Étudié par Benjamini, Schramm en 1996,
par Baek, Kim, Minnhagen in 2009.

Borne connue :

Proposition

Dans le graphe $G(m)$, on a :

$$\frac{1}{m-1} \leq p_c \leq 1 - \frac{1}{m-1}.$$

Grâce à la théorie de l'information quantique, nous allons borner p_c .

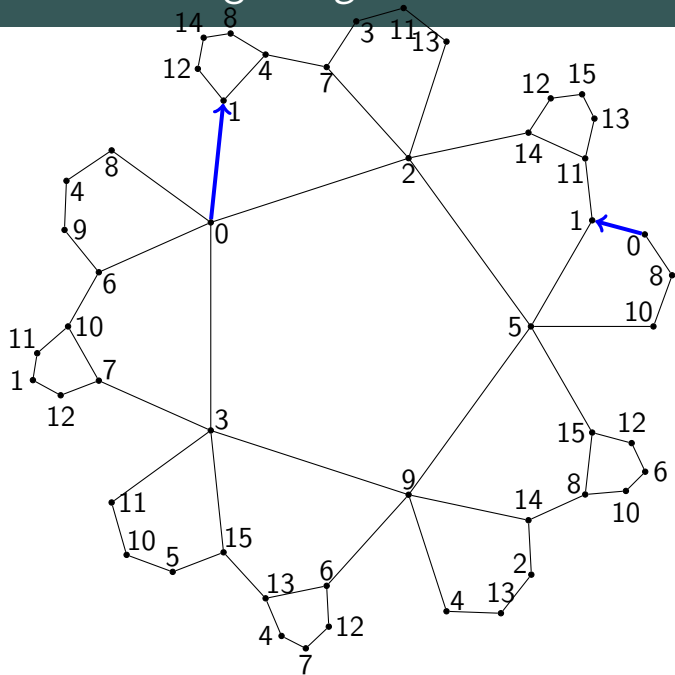
Hyperbolic graphs

Théorème (J. Siran - 2001)

$\forall m \geq 5$ et $\forall r \in \mathbb{N}$, il existe un graphe fini m -régulier $G_r(m)$ tel que toute boule de rayon r est planaire.

→ A partir de ces graphes finis, on peut définir des codes quantiques.

Une surface de genre $g = 5$



Un code quantique $[[40, 10, 4]]$

$$\mathbf{H}_X = \begin{pmatrix} 0 & 1 & 2 & 3 & 8 \\ 1 & 4 & 5 & 11 & 20 \\ 2 & 6 & 7 & 14 & 25 \\ 0 & 9 & 10 & 18 & 28 \\ 5 & 12 & 13 & 22 & 32 \\ 4 & 7 & 15 & 21 & 31 \\ 3 & 16 & 17 & 27 & 36 \\ 6 & 10 & 13 & 19 & 23 \\ 8 & 12 & 24 & 33 & 38 \\ 9 & 15 & 17 & 22 & 26 \\ 16 & 19 & 21 & 24 & 29 \\ 11 & 28 & 29 & 30 & 35 \\ 20 & 23 & 27 & 34 & 39 \\ 14 & 32 & 35 & 36 & 37 \\ 25 & 26 & 30 & 33 & 34 \\ 18 & 31 & 37 & 38 & 39 \end{pmatrix}$$

$$\mathbf{H}_Z = \begin{pmatrix} 0 & 2 & 7 & 9 & 15 \\ 1 & 2 & 5 & 6 & 13 \\ 0 & 3 & 10 & 16 & 19 \\ 1 & 4 & 8 & 21 & 24 \\ 3 & 8 & 12 & 17 & 22 \\ 4 & 7 & 11 & 25 & 30 \\ 5 & 12 & 20 & 33 & 34 \\ 6 & 10 & 14 & 28 & 35 \\ 9 & 17 & 18 & 36 & 37 \\ 11 & 19 & 20 & 23 & 29 \\ 13 & 23 & 27 & 32 & 36 \\ 14 & 22 & 25 & 26 & 32 \\ 15 & 26 & 31 & 33 & 38 \\ 16 & 24 & 27 & 38 & 39 \\ 18 & 21 & 28 & 29 & 31 \\ 30 & 34 & 35 & 37 & 39 \end{pmatrix}$$

Codes hyperboliques

Pour construire un code hyperbolique $Q_r(m)$:

- ▶ \mathbf{H}_X est la matrice d'incidence du graphe $G_r(m)$,
- ▶ \mathbf{H}_Z est la matrice des faces.

Avec cette construction :

Proposition

- ▶ $n = |E|$ est le nombre de qubits,
- ▶ $k = \left(1 - \frac{4}{m}\right) n + 2$,
- ▶ d est logarithmique en n .

Codes hyperboliques

- ▶ \mathbf{H}_X est la matrice d'incidence du graphe $G_r(m)$,
- ▶ \mathbf{H}_Z est la matrice des faces.

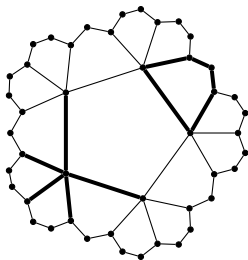


FIGURE : Les relations d'orthogonalité

Ce sont des codes LDPC.

Percolation et capacité

Argument : si $p < p_c$ alors $1 - \frac{4}{m} \leq R \leq 1 - 2p$

Théorème (D., Zémor - 2010)

Le seuil critique du graphe $G(m)$ vérifie :

$$p_c \leq \frac{2}{m}.$$

Percolation et capacité

IDÉE DE LA PREUVE :

Si $p < p_c$ alors $\mathcal{E}(e)$ est petite.

On peut déterminer l'erreur qui touche e .

→ La probabilité d'erreur par qubit tend vers 0, lorsque $r \rightarrow \infty$.

On veut que la probabilité d'erreur tende vers 0.

On ajoute quelques lignes aux matrices \mathbf{H}_X et \mathbf{H}_Z .

→ Il existe $Q'_r(m) \subset Q_r(m)$ avec $\begin{cases} \frac{k}{n} \text{ goes to } 1 - \frac{4}{m}, \\ d \text{ proportional to } n. \end{cases}$

Percolation et capacité

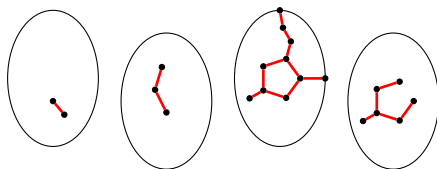


FIGURE : Les composantes connexes d'un effacement pour $p < p_c$

Percolation et capacité

- ▶ Avec le syndrome de $Q_r(m)$, on peut corriger les petites composantes de l'effacement.

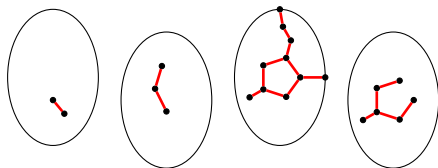


FIGURE : Les composantes connexes d'un effacement pour $p < p_c$

Percolation et capacité

- ▶ Avec le syndrome de $Q_r(m)$, on peut corriger les petites composantes de l'effacement.
- ▶ Il reste une partie problématique \mathcal{E}_p .

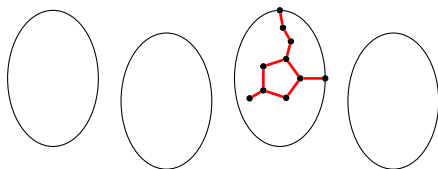


FIGURE : Les composantes connexes d'un effacement pour $p < p_c$

Percolation et capacité

- ▶ Avec le syndrome de $Q_r(m)$, on peut corriger les petites composantes de l'effacement.
- ▶ Il reste une partie problématique \mathcal{E}_P .
- ▶ Si $p < p_c$ et r est grand, $|\mathcal{E}_P|$ est une petite fraction de n .

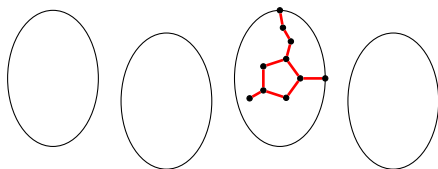


FIGURE : Les composantes connexes d'un effacement pour $p < p_c$

Percolation et capacité

- ▶ Avec le syndrome de $Q_r(m)$, on peut corriger les petites composantes de l'effacement.
- ▶ Il reste une partie problématique \mathcal{E}_P .
- ▶ Si $p < p_c$ et r est grand, $|\mathcal{E}_P|$ est une petite fraction de n .
- ▶ Avec $Q'_r(m)$ on peut corriger \mathcal{E}_P avec proba élevée.

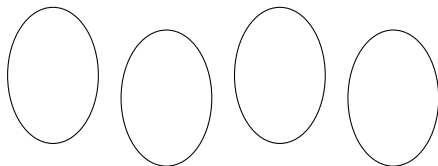


FIGURE : Les composantes connexes d'un effacement pour $p < p_c$

Percolation et capacité

Si $p < p_c$, la probabilité d'erreur tend vers 0.

Proposition (Bennett, DiVincenzo, Smolin - 1997)

La capacité du canal à effacement quantique de probabilité p est $1 - 2p$.

→ borne supérieure sur le rendement limite de $Q'_r(m)$.

Théorème (D., Zémor - 2010)

La probabilité critique du graphe $G(m)$ vérifie :

$$p_c \leq \frac{2}{m}.$$

Les effacement problématiques

Un effacement classique : $(01010) \mapsto (0??010)$

$$H = \begin{pmatrix} 1 & 0 & 0 & 1 & 0 \\ 0 & 1 & 0 & 1 & 1 \\ 0 & 0 & 1 & 0 & 1 \end{pmatrix}$$
$$e = (0 \quad 1 \quad 1 \quad 0 \quad 0)$$

Les effacement problématiques

Un effacement classique : $(01010) \mapsto (0??010)$

$$H_e = \begin{pmatrix} 1 & 0 & 0 & 1 & 0 \\ 0 & 1 & 0 & 1 & 1 \\ 0 & 0 & 1 & 0 & 1 \end{pmatrix}$$
$$e = (0 \quad 1 \quad 1 \quad 0 \quad 0)$$

Les effacement problématiques

Un effacement classique : $(01010) \mapsto (0??010)$

$$H_{\bar{e}} = \begin{pmatrix} 1 & 0 & 0 & 1 & 0 \\ 0 & 1 & 0 & 1 & 1 \\ 0 & 0 & 1 & 0 & 1 \end{pmatrix}$$
$$e = (0 \quad 1 \quad 1 \quad 0 \quad 0)$$

Les effacement problématiques

Un effacement classique : $(01010) \mapsto (0??010)$

$$H_{\bar{e}} = \begin{pmatrix} 1 & 0 & 0 & 1 & 0 \\ 0 & 1 & 0 & 1 & 1 \\ 0 & 0 & 1 & 0 & 1 \end{pmatrix}$$
$$e = (0 \quad 1 \quad 1 \quad 0 \quad 0)$$

e est corrigible $\Leftrightarrow e$ ne couvre pas de mot de code $\neq 0$
 $\Leftrightarrow \text{rg } H_e = w(e)$

L'analogie quantique :

Proposition

e corrigible $\Leftrightarrow e$ ne couvre pas de cycle non somme de face \Leftrightarrow
 $\text{rg } \mathbf{H}_X + \text{rg } \mathbf{H}_Z - (\text{rg } \mathbf{H}_{X,\bar{e}} + \text{rg } \mathbf{H}_{Z,\bar{e}} - \text{rg } \mathbf{H}_{X,e} - \text{rg } \mathbf{H}_{Z,e}) = 2w(e)$

Une borne combinatoire sur la capacité

Soit $(\mathbf{H}_{X,t})$ et $(\mathbf{H}_{Z,t})$ définissant une famille de codes quantiques de rendement R .

Théorème (D., Zémor - '12)

Si $P_{err} \rightarrow 0$ alors

$$R \leq 1 - 2p - D(p) \leq 1 - 2p,$$

où

$$D(p) = \limsup E_p \left(\frac{\text{rg } \mathbf{H}_{X,\bar{e}} - \text{rg } \mathbf{H}_{X,e}}{n} + \frac{\text{rg } \mathbf{H}_{Z,\bar{e}} - \text{rg } \mathbf{H}_{Z,e}}{n} \right)$$

Une borne combinatoire sur la capacité

Soit $(\mathbf{H}_{X,t})$ et $(\mathbf{H}_{Z,t})$ définissant une famille de codes quantiques de rendement R .

Théorème (D., Zémor - '12)

Si $P_{err} \rightarrow 0$ alors

$$R \leq 1 - 2p - D(p) \leq 1 - 2p,$$

où


$$D(p) = \limsup E_p \left(\frac{\text{rg } \mathbf{H}_{X,\bar{e}} - \text{rg } \mathbf{H}_{X,e}}{n} + \frac{\text{rg } \mathbf{H}_{Z,\bar{e}} - \text{rg } \mathbf{H}_{Z,e}}{n} \right)$$

- ▶ Pour des matrices quelconques $D(p)$ peut être petit (≈ 0)
- ▶ MAIS pour des matrices creuses, cette borne est sous la capacité

But : estimer $D(p)$ pour des matrices creuses

Rang d'une matrice creuse aléatoire

$$\left(\begin{array}{c} \mathbf{H}_e \end{array} \right)$$


 pn columns

- Typiquement : \mathbf{H}_e est une matrice $r \times np$

Rang d'une matrice creuse aléatoire

$$\left(\begin{array}{c} \mathbf{H}_e \end{array} \right)$$

⏟
 pn columns

- ▶ Typiquement : \mathbf{H}_e est une matrice $r \times np$

Rang d'une matrice creuse aléatoire

$$\left(\begin{array}{c|c} & \\ \hline \mathbf{H}_e & \end{array} \right)$$

$\underbrace{\hspace{10em}}_{pn \text{ columns}}$

- Typiquement : \mathbf{H}_e est une matrice $r \times np$

Rang d'une matrice creuse aléatoire

$$\left(\begin{array}{c} \mathbf{H}_e \end{array} \right)$$

$\underbrace{\hspace{10em}}$
 pn columns

- Typiquement : \mathbf{H}_e est une matrice $r \times np$

Rang d'une matrice creuse aléatoire

$$\left(\begin{array}{c} \mathbf{H}_e \end{array} \right)$$

$\underbrace{\hspace{10em}}_{pn \text{ columns}}$

- ▶ Typiquement : \mathbf{H}_e est une matrice $r \times np$
- ▶ Lorsque $np = r$, la matrice carré \mathbf{H}_e est de rang presque plein
→ $D(p)$ est proche de 0

Rang d'une matrice creuse aléatoire

$$\left(\begin{array}{c|ccc} & & & \\ & & & \\ & & & \\ \hline & & 1 & \\ & & & 1 \\ & & & & 1 \end{array} \right)$$

$\underbrace{\hspace{10em}}_{pn \text{ columns}}$

- ▶ Typiquement : \mathbf{H}_e est une matrice $r \times np$
- ▶ Lorsque $np = r$, la matrice carré \mathbf{H}_e est de rang presque plein
→ $D(p)$ est proche de 0

Rang d'une matrice creuse aléatoire

$$\left(\begin{array}{c|ccc} & & & \\ \hline & & 1 & \\ & & & 1 \\ & & & & 1 \end{array} \right)$$

$\underbrace{\hspace{10em}}_{pn \text{ columns}}$

- ▶ Typiquement : \mathbf{H}_e est une matrice $r \times np$
- ▶ Lorsque $np = r$, la matrice carré \mathbf{H}_e est de rend presque plein
→ $D(p)$ est proche de 0
- ▶ MAIS pour une matrice creuse \mathbf{H} , il y a αn lignes nulles dans \mathbf{H}_e
→ $D(p) > \lambda$
→ Borne sur le rendement des codes LDPC quantique

Rang d'une matrice creuse aléatoire

$$\left(\begin{array}{c|ccc} 1 & & & \\ & & & 1 \quad 1 \\ & & \mathbf{H}_e & \\ & 1 & & \\ \hline & & & 1 \quad 1 \quad 1 \end{array} \right)$$

$\underbrace{\hspace{15em}}_{pn \text{ columns}}$

- ▶ Typiquement : \mathbf{H}_e est une matrice $r \times np$
- ▶ Lorsque $np = r$, la matrice carré \mathbf{H}_e est de rend presque plein
→ $D(p)$ est proche de 0
- ▶ MAIS pour une matrice creuse \mathbf{H} , il y a αn lignes nulles dans \mathbf{H}_e
→ $D(p) > \lambda$
→ Borne sur le rendement des codes LDPC quantique

Rang d'une matrice creuse aléatoire

$$\underbrace{\left(\begin{array}{c|ccc} 1 & & & \\ & & & \\ & & \mathbf{H}_e & \\ & & & \\ 1 & & & \end{array} \right)}_{pn \text{ columns}} \begin{pmatrix} & & & 1 & & 1 \\ & & & & & \\ & & & & & \\ & & & & & \\ & & & 1 & & 1 \end{pmatrix}$$

- ▶ Typiquement : \mathbf{H}_e est une matrice $r \times np$
- ▶ Lorsque $np = r$, la matrice carré \mathbf{H}_e est de rend presque plein
→ $D(p)$ est proche de 0
- ▶ MAIS pour une matrice creuse \mathbf{H} , il y a αn lignes nulles dans \mathbf{H}_e
→ $D(p) > \lambda$
→ Borne sur le rendement des codes LDPC quantique
- ▶ Ensuite, il y a βn lignes identique de poids 1 ...
→ amélioration de la borne

Rang d'une matrice creuse aléatoire

Théorème (D., Zémor - 2012)

Les rendements atteignables avec \mathbf{H}_X et \mathbf{H}_Z de type $(2, m)$, et avec $d_X, d_Z \geq 2\delta + 1$, sur le canal à effacement quantique de probabilité p :

$$\begin{aligned} R &\leq 1 - 2p - D(p) \\ &\leq (1 - 2p) \left(\frac{4}{mp} (1 - (1 - p)^m S_\delta(p(1 - p)^{m-2})) - 1 \right) \end{aligned}$$

S_δ dépend de la série génératrice des sous-arbres enracinés de l'arbre m -régulier.

Rang d'une matrice creuse aléatoire

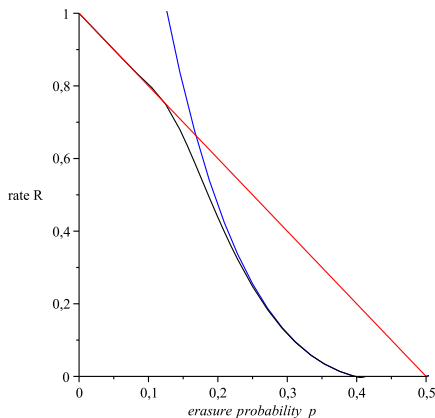


FIGURE : Borne sur le rendement des codes quantiques (2,8)

En bleu : en comptant le nombre moyen de lignes nulles

En noir : en comptant les relations de longueur ≤ 6 entre les lignes de \mathbf{H}_e

Résultats numériques

m	$\frac{1}{m-1} \leq p_c$	borne améliorée : $p_c \leq$	avec la capacité : $p_c \leq \frac{2}{m}$
5	0.25	0.38	0.40
10	0.11	0.17	0.20
20	0.053	0.073	0.100
30	0.035	0.046	0.067
40	0.026	0.034	0.050
50	0.020	0.026	0.040

Résultats numériques

Questions :

- ▶ Valeur exacte de p_c
- ▶ Compter les composantes connexes d'un sous-graphe aléatoire
- ▶ Généraliser à d'autres modèles d'erreurs (sans connaître les positions en erreur)
- ▶ Construction de codes de surface atteignant un seuil optimal

Pour en discuter : Bureau 2044 jusqu'en Octobre 2013.

Résultats numériques

Merci de votre attention !